

METODA PCA A JEJÍ IMPLEMENTACE V JAZYCE C++

Lukáš Fritsch, Ing.

ČVUT v Praze, Fakulta elektrotechnická, Katedra radioelektroniky

Abstrakt

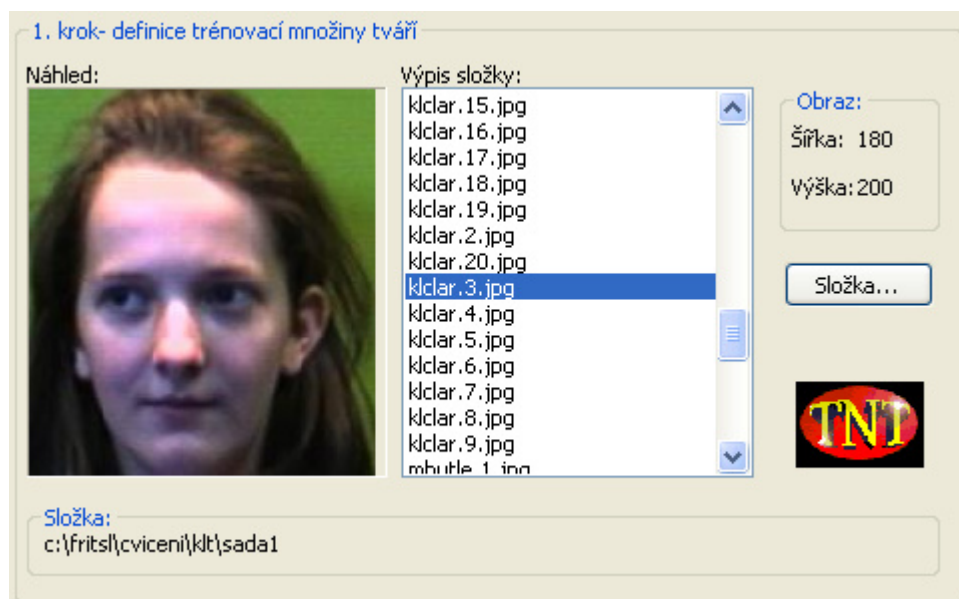
Metoda PCA (Principal Component Analysis- analýza hlavních komponent) může být využita k reprezentaci např. lidské tváře v tzv. facespace (prostoru tváří), v němž lze efektivně provádět rozpoznávání tváře. Na základě dále uvedeného popisu metody PCA byla pod operačním systémem Windows® v jazyce Visual C++ naprogramována aplikace, která demonstruje užití metody v úloze rozpoznávání a též v úloze komprese obrazové informace. Při návrhu aplikace byl kladen důraz na rychlost výpočtu a na možnost použití rozsáhlejších trénovacích sad snímků. Součástí realizace bylo ověření funkčnosti algoritmu pro obě zmiňované úlohy v programovém prostředí MATLAB.

1 Základní pojmy a úvod do problematiky

Uvažujme kolekci o počtu P obrázků tváří (též trénovací sadu), kdy všechny mají stejné rozměry $W \times H$. Z těchto obrázků sestrojíme matici o počtu řádků rovném počtu obrazů P v kolekci a o počtu sloupců rovném číslu $n = W \times H$. Obrázky tváří jsou si podobné, ať už ve více či méně rysech, a proto nejsou náhodně distribuovány (existuje mezi nimi nenulová korelace). Hlavní myšlenkou PCA pro námi zamýšlené účely je nalézt vektory, které nejlépe popisují distribuci obrázků tváří v celém prostoru obrázků. Tyto nalezené vektory dimenze n definují podprostor, který nazýváme prostor obrázků tváří (eigenspace, též facespace), jsou lineární kombinací původních vektorů a tvoří bázi eigenspace. Tyto vektory jsou vlastními vektory kovarianční matice korespondující k původním obrázkům a protože jsou podobné obrázkům tváří, nazýváme je eigenfaces. Tím jsme si na úvod uvedli základní termíny a principy, [1], [2], [4], [5], [6].

2 Proces rozpoznávání

Zabývejme se postupem, který nás dovede až do fáze rozpoznávání tváře, [1]. Nechť máme kolekci obrázků tváří x_1, x_2, \dots, x_p , přičemž si představujeme každý obrázek jako vektor (jednotlivé řádky obrazové matice poskládáme postupně za sebou). Na obr. 1 je uvedena část dialogového okna aplikace, kde se definuje trénovací sada. V tomto konkrétním případě sada obsahuje celkem 80 obrázků od čtyř různých osob (1 muž a 3 ženy) a lze ji získat na stránce [7].



Obr. 1 Volba trénovací sady

Dalším krokem je výpočet průměrného obrázku této sady podle vztahu:

$$M = \frac{1}{P} \cdot \sum_{i=1}^P x_i . \quad (1)$$

Od každého obrázku sady odečteme průměrný obraz (provedeme centrování dat):

$$\bar{x}_i = x_i - M . \quad (2)$$

Takto získané vektory uspořádejme do matice, označme ji \bar{X} , kdy každý řádek matice popisuje jeden z vektorů \bar{x}_i . Matice má tedy P řádků a n sloupců a je vstupem do analýzy hlavních komponent, která hledá množinu vektorů, které nejlépe popisují distribuci vstupních dat. Hledané vektory jsou vlastními vektory (hlavními komponentami) kovarianční matice C' , kterou získáme následovně:

$$C' = \bar{X} \cdot \bar{X}^T . \quad (3)$$

Vidíme, že kovarianční matice získaná podle vztahu (3) má P řádků a P sloupců. Může mít ovšem i rozměry $n \times n$, pokud provedeme transpozici 1. matice v součinu (3):

$$C = \bar{X}^T \cdot \bar{X} . \quad (4)$$

Zřejmě je kovarianční matice získaná podle vztahu (3) z hlediska výpočetní náročnosti vlastních čísel a vektorů výhodnější. Předpokladem ovšem musí být, že $P \ll n$. Tedy, že počet obrázků v kolekci je daleko menší než počet obrazových bodů jednoho z obrázků. V opačném případě bychom museli zmenšit rozměry obrázků v sadě, což je docela schůdné řešení nebo použít jiný přístup. K problematické výpočetní náročnosti, především pak z paměťového hlediska, se ještě vrátíme na konci příspěvku.

Pro rozpoznávání ovšem potřebujeme mít vlastní vektory matice C . Jak ale uvidíme dále, lze k výpočtu vlastních vektorů matice C použít vlastní vektory matice C' . Máme tedy kovarianční matici C' získanou podle (3). Tato matice je zřejmě reálná a symetrická. V dalším kroku musíme numericky vyřešit rovnici:

$$C' \cdot V' = \lambda \cdot V' , \quad (5)$$

tj. nalézt vlastní vektory, které jsou uspořádány po řádcích v matici V' a vlastní čísla λ kovarianční matice C' . Tento krok není jednoduchý, k jeho vyřešení v aplikaci používáme hlavičkový soubor *jama_eig.h* z balíku JAMAC++, který lze zdarma získat na stránce [3]. Implementační část je součástí uvedeného hlavičkového souboru. Je psána moderními programovacími technikami- pomocí šablon objektových typů.

Hlavičkový soubor *jama_eig.h* vyžaduje ještě soubory *tnt_xxx.h* obsahující implementace pro správu polí. Soubory jsou distribuovány s balíkem JAMAC++.

Po vyřešení rovnice (5) získáme vlastní čísla a vektory matice C' . Kovarianční matice C' obsahuje nejvýše P vlastních čísel různých od nuly a platí, že tato čísla jsou shodná s vlastními čísly matice C . U vlastních vektorů toto neplatí. Zřejmě matice V' obsahující v řádcích vlastní vektory má stejné rozměry jako kovarianční matice C' , tedy $P \times P$. K vlastním vektorům uspořádaných po řádcích v matici V kovarianční matice C se lze dostat vztahem:

$$V = \bar{X} \cdot V' . \quad (6)$$

Dostaneme tak matici V obsahující v P řádcích vlastní vektory délky n , které tvoří bázi prostoru eigenspace. Vektory nyní seřadíme podle příslušných vlastních čísel od největšího k nejmenšímu pomocí vhodného řadícího algoritmu. Před započítím řazení si ještě vytvoříme pomocné hodnotové pole, které naplníme vzestupnou řadou čísel od 0 do $P-1$. Spolu s prohazováním vlastních čísel při řazení prohazujeme i obsah tohoto hodnotového pole. Zřejmě po ukončení řazení obsahuje hodnotové pole odkazy do původního nesetříděného pole. Zde používáme řazení výběrem (select sort- z posloupnosti vlastních čísel postupně vybíráme minimální prvek a ten vložíme za již seřazený úsek). Lze sloučit výpočet matice V s řazením vlastních vektorů do jednoho kroku- při výpočtu (6) umístíme do i -tého řádku matice V vektor získaný výpočtem vektoru z matice V' na řádku rovném hodnotě umístěné na pozici $(P-1-(i-1))$ výše uvedeného pomocného hodnotového pole. Uveďme příklad. Máme posloupnost čísel $h = \{2, 5, 1, 4\}$. Vytvoříme pomocné hodnotové pole $p = [0, 1, 2, 3]$. Posloupnost h seřadíme, dostaneme $h = \{1, 2, 4, 5\}$, prvky pole p se prohodí, čili $p = [2, 0, 3, 1]$. Dále máme matici $V' = [v'_2, v'_5, v'_1, v'_4]^T$. Do 1. řádku matice V umístíme vektor získaný výpočtem $\bar{x} \cdot v'_5$, neboť poslední prvek (postupujeme od největšího vlastního čísla k nejmenšímu) pole p má hodnotu 1- tj. odkazuje na

druhý řádek v matici V' . Do 2. řádku matice V pak umístíme vektor získaný výpočtem $\bar{x} \cdot v'_4$, neboť předposlední prvek pole p má hodnotu 3 a tedy odkazuje na čtvrtý řádek matice V' , atd. pro další vektory.

Po tomto kroku máme sestupně seřazené vlastní vektory matice V . Dále je musíme normalizovat na jednotkovou velikost. Pro každý vektor v_i z matice V provedeme přepočtení podle vztahu:

$$v_i = \frac{v_i}{\|v_i\|}. \quad (7)$$

Pro normu vektoru obecně platí:

$$\|v_i\| = \sqrt{\sum v_i \cdot v_i^*}, \quad (8)$$

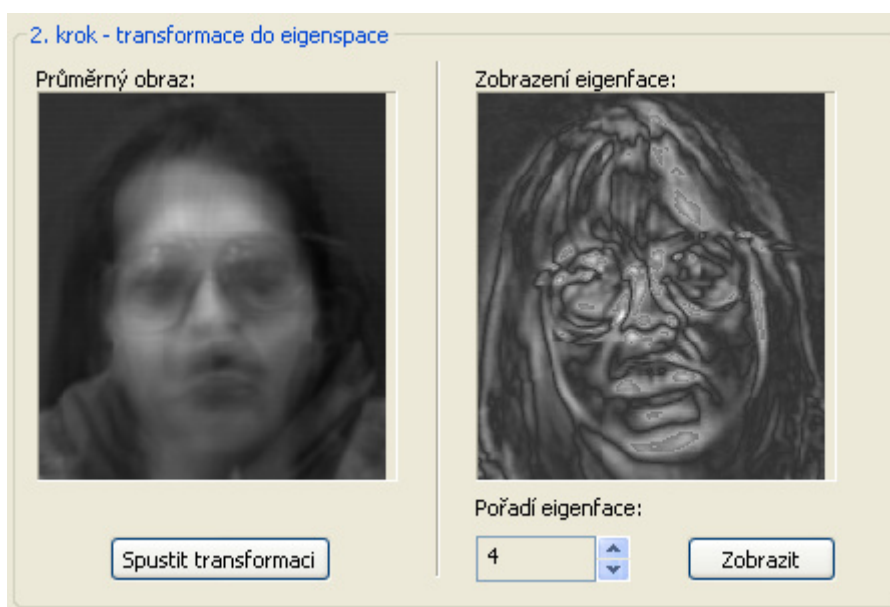
v našem případě jsou hodnoty vlastních vektorů reálné, proto:

$$\|v_i\| = \sqrt{\sum v_i^2}. \quad (9)$$

Po tomto kroku máme určenou bázi prostoru eigenspace, která je tvořena maticí V , ve tvaru potřebném pro další kroky. Nyní můžeme do eigenspace transformovat trénovací obrázky umístěné v matici \bar{X} . Předpokládejme, že jednotlivé transformované eigenfaces vkládáme po řádcích do matice \tilde{X} . Transformaci provedeme podle vztahu:

$$\tilde{x}_i = x_i \cdot V^T. \quad (10)$$

Na obr. 2 je uvedena část dialogového okna aplikace, kde je zobrazen průměrný obrázek a též zvolený eigenface. Vizualizace eigenface je provedena tak, že jsou jeho prvky lineárně přeškálovány do rozsahu hodnot 0 až 255.



Obr. 2 Průměrný obrázek a zobrazení zvoleného eigenface

Po tomto kroku jsme připraveni zahájit proces rozpoznávání obrázku neznámé tváře; označme ho u . Tento obrázek musíme pomocí výše získané báze převést do eigenspace, tedy:

- obrázek vycentrujeme: $\bar{u} = u - M$,
- vypočteme eigenface: $\tilde{u} = \bar{u} \cdot V^T$.

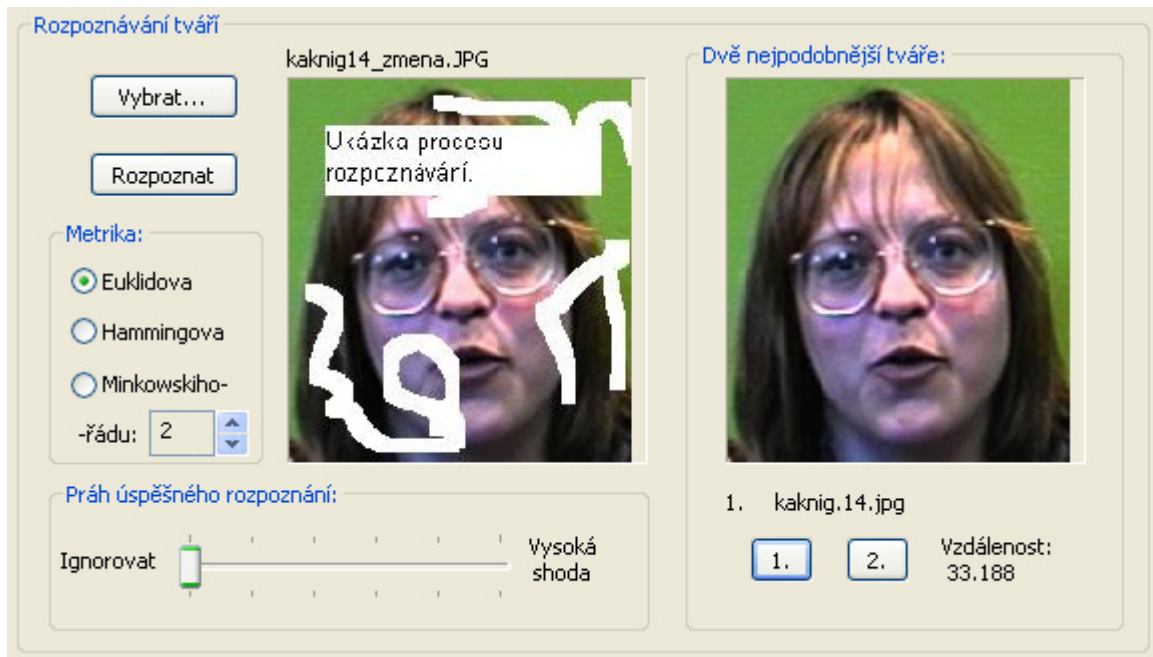
Zbývá rozhodnout o nejpodobnější tváři z trénovací sady k tváři neznámé. Provedeme to tak, že určíme vzdálenosti trénovacích eigenfaces \tilde{x}_i k eigenface \tilde{u} . Z nalezené minimální vzdálenosti nakonec určíme odpovídající tvář z trénovací sady. K určení vzdálenosti můžeme použít různé metriky. V této práci jsou na výběr metriky:

- Euklidova, $d_E(\tilde{u}, \tilde{x}_i) = \sqrt{\sum_{j=0}^{P-1} (\tilde{u}[j] - \tilde{x}_i[j])^2}$ (11)

- Hammingova, $d_H(\tilde{u}, \tilde{x}_i) = \sqrt{\sum_{j=0}^{P-1} |\tilde{u}[j] - \tilde{x}_i[j]|}$ (12)

- Zobecněná Minkowskiho, $d_M(\tilde{u}, \tilde{x}_i) = \sqrt[n]{\sum_{j=0}^{P-1} (\tilde{u}[j] - \tilde{x}_i[j])^n}$. (13)

Tím máme popsán postup při úloze rozpoznávání. Na obr. 3 je uvedena část dialogového okna aplikace, kde probíhá proces rozpoznávání. Vstupem je obrázek, jehož nejpodobnější vzor chceme najít v trénovací sadě a výstupem pak nalezené dva nejpodobnější vzory v sadě.



Obr. 3 Proces rozpoznávání tváří- levý obrázek je vstup, pravý pak nalezený nejpodobnější obrázek.

V rámci procesu rozpoznávání lze též nastavit práh úspěšného rozpoznání, který je chápán jako mezní hodnota vzdálenosti obrázku pro rozpoznání od obrázku z trénovací sady. Je-li vzdálenost větší než nastavený práh, vypíše se informace, že nelze nalézt nejpodobnější obrázek. Práh může být ignorován.

3 Proces zpětné rekonstrukce

Vedle rozpoznávání je v této práci naprogramována ještě zpětná rekonstrukce z eigenspace, přičemž lze si zvolit počet vektorů báze, které mají být k rekonstrukci použity, [1]. Toto je v podstatě způsob, který se dá využít ke kompresi snímků. Popišme si proto, co tato úloha vyžaduje. K dispozici máme:

- bázi eigenspace V o rozměrech $P \times n$
- transformovaný obrázek ve formě eigenface \tilde{u} resp. \tilde{x}_i .

Předpokládejme, že chceme zrekonstruovat m -tý obrázek z trénovací sady s použitím k vektorů báze. Pak lze rekonstrukci vyjádřit vztahem:

$$\bar{\bar{x}}_m[t] = \sum_{j=0}^{k-1} \tilde{x}_m[j] \cdot v_j[t]; 0 \leq t \leq n-1, \quad (14)$$

kde $\bar{\bar{x}}_m$ značí m -tý zrekonstruovaný obrázek,

\tilde{x}_i značí m -tý eigenface,

k je počet použitých vektorů báze,

n je počet obrazových bodů výchozího obrázku.

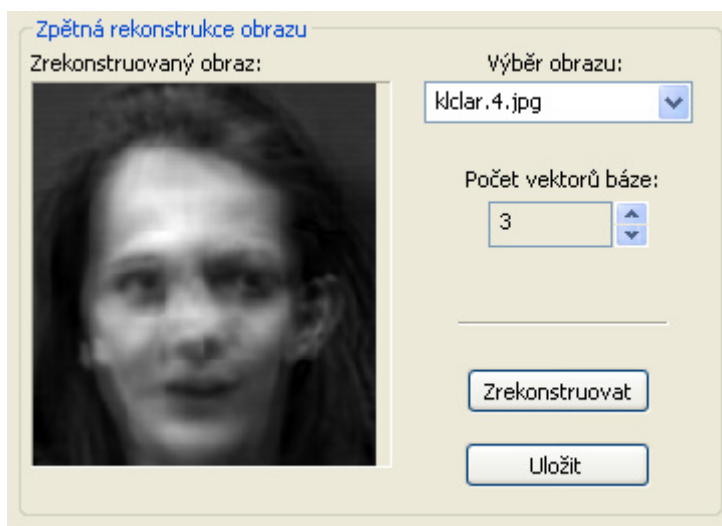
Po tomto kroku nesmíme zapomenout přičíst průměrný obrázek:

$$\hat{x}_m = \bar{\bar{x}}_m + M. \quad (15)$$

Zpětná rekonstrukce je zatížena určitou chybou ε , kterou můžeme obecně vyjádřit:

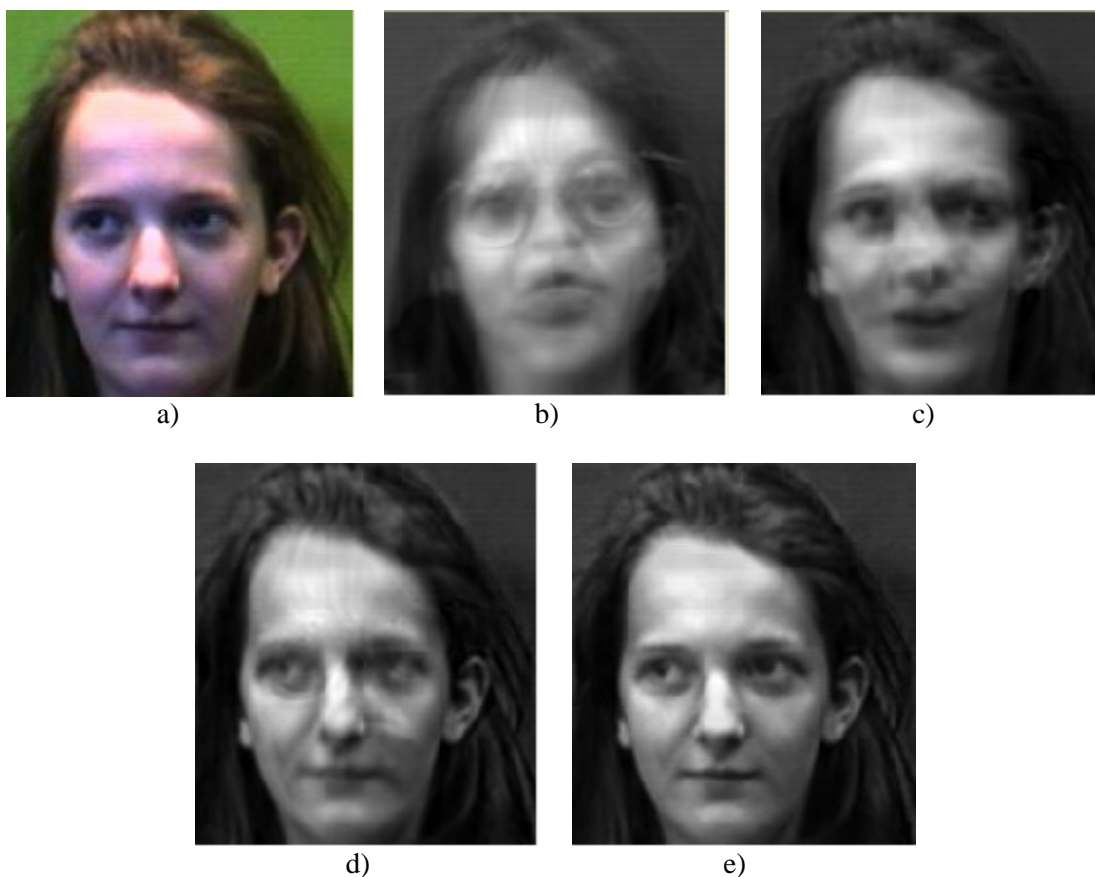
$$\varepsilon = \|\hat{x}_m - x_m\|. \quad (16)$$

Tím jsme popsali postup zpětné rekonstrukce snímků s možností volby počtu použitých bází. Na obr. 4 je uvedena část dialogového okna aplikace, kde probíhá proces zpětné rekonstrukce.



Obr. 4 Proces zpětné rekonstrukce

Pro jistou představu o vlivu počtu použitých vektorů báze na rekonstruovaný snímek uvedme na obr. 5 přehled snímků získaných z různých počtů vektorů báze.



Obr. 5 Vliv počtu vektorů báze na rekonstrukci obrázku- a) původní obrázek, b) 1 vektor, c) 3 vektory, d) 10 vektorů, e) 25 vektorů báze.

Vhodnějším měřítkem pro posouzení vlivu počtu vektorů báze na kvalitu rekonstruovaného obrázku může být zobrazení závislosti RMSE na počtu vektorů báze použitých k rekonstrukci obrázku, přičemž pro RMSE platí:

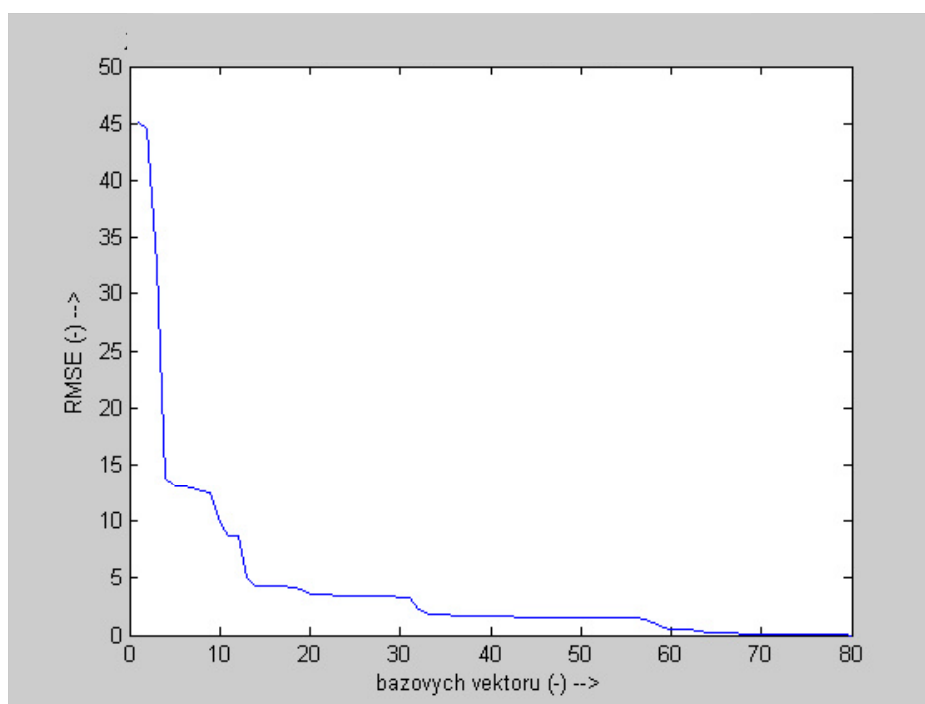
$$RMSE = \sqrt{\frac{1}{M \cdot N} \cdot \sum_{i=1}^M \sum_{j=1}^N (\hat{x}_m(i, j) - x_m(i, j))^2}, \quad (17)$$

kde M resp. N je výška (počet řádků obrazové matice) resp. šířka (počet sloupců obrazové matice) obrazu,

\hat{x}_m značí m -tý zrekonstruovaný obraz,

x_m značí m -tý originální obraz.

Uvažujme původní obrázek z obr. 5a) a tutéž trénovací sadu popsanou výše. Uvedenou závislost ukazuje obr. 6.



Obr.6 Závislost RMSE na počtu vektorů báze použitých k rekonstrukci obrazu

Stojí za povšimnutí, že význačný zlom v charakteristice nastává pro 5 vektorů báze, což je hodnota o 1 větší než je počet různých osob umístěných v trénovací sadě. Použijeme-li v našem případě k rekonstrukci 20 a více vektorů báze, není zde významný vizuální rozdíl mezi originálním a rekonstruovaným obrázkem.

4 Poznámky k implementaci aplikace

Na závěr popisu použití metody PCA uvedme některé poznámky z hlediska implementace, [1].

- V řadě vztahů se počítá s transponovanou formou matice. Samozřejmě není vůbec nutné mít vytvořenou vedle matice netransponované ještě matici transponovanou. Stačí u původní matice prohodit řádkový index se sloupcovým indexem.
- Pro velké trénovací sady vidíme vysoké paměťové nároky. Může se stát, že se dynamicky přidělovaná paměť vyčerpá dříve než se zahájí nějaký výpočet. Proto bychom neměli pro alokaci velkých polí a matic nutných k výpočtům používat operátory *new*, *malloc*, příp. u hodnotových polí metodu *resize*. V této práci je pro rozsáhlá pole a matice používán paměťově mapovaný soubor. Konkrétně jde o matici \bar{X} uchovávající trénovací sadu obrázků a o matici V uchovávající bázi eigenspace. Zaplatíme za to ovšem určitou ztrátou rychlosti.
- Veškeré postupy předpokládaly vstupní obrázky ve stupních šedé. Na internetu lze ale nalézt rozsáhlé databáze barevných obrázků. Máme několik možností, jak se s tím vypořádat; buď budeme pracovat paralelně s každým kanálem zvlášť (pro velké časové a paměťové nároky je

to však nevhodné a též nelogické) nebo obrázky převedeme do stupňů šedé nebo si zvolíme jeden z barevných kanálů R,G,B a s ním metodu rozpoznávání provedeme. V této práci funguje poslední možnost (byl vybrán kanál R) a bez jakýchkoli problémů. Výsledky pro jeden ze zvolených kanálů zobrazujeme tak, že získané hodnoty obrazových bodů doplníme do zbývajících 2 kanálů (toto se týká zobrazení průměrného obrazu, zvoleného eigenface a zrekonstruovaného obrazu).

5 Shrnutí

Cílem tohoto příspěvku bylo ukázat využití metody PCA pro účely rozpoznávání a pro účely komprese obrazu a problematiku jejího programování v jazyce Visual C++. Zrealizovaná aplikace může sloužit ke studijním účelům v rámci seznamování se s metodou PCA nebo jako odrazový můstek pro další práci v této oblasti. Velice zajímavou návaznou prací může být oblast komprese videosekvencí, kde je nutné řešit optimalizace z hlediska vysoké časové a paměťové náročnosti metody. Lákavou oblastí je též realizace přístupového systému budov na základě rozpoznávání tváří. Zde by bylo nutné pouze vyřešit propojení snímací kamery s aplikací a ovládání nějakého elektronického zámku, neboť vše ostatní je již realizováno. V rámci realizace aplikace byly uvedené algoritmy pro kontrolu odzkoušeny v programovém prostředí MATLAB.

Tento příspěvek vznikl s přispěním grantu GAČR č.102/05/2054 a výzkumného záměru MSM 6840770014 (MŠMT).

Reference

- [1] Fritsch, L. Programová podpora snímání obrazu. Praha, 2007. Diplomová práce FEL ČVUT. Vedoucí práce Mgr. Petr Páta, Ph.D.
- [2] Stejskal, J. KLT obrazový kodér. Praha, 2005. Diplomová práce FEL ČVUT. Vedoucí práce Mgr. Petr Páta, Ph.D.
- [3] JAMAC++ package [online].
URL: <<http://math.nist.gov/tnt/overview.html>>.
- [4] Rozpoznávání tváří [soubor PDF].
URL: <<http://pal.altmanoptik.com/download/facerec.pdf>>.
- [5] Efektivní vyhledávání v kolekcích obrázků tváří [soubor PDF].
URL: <<http://www.cs.vsb.cz/kratky/courses/2003-04/reference/effface.pdf>>.
- [6] A tutorial on Principal Component Analysis [soubor PDF].
URL: <<http://www.sn1.salk.edu/~shlens/pub/notes/pca.pdf>>.
- [7] Collection of Facial Images: Faces94 [online].
URL: <<http://cswww.essex.ac.uk/mv/allfaces/faces94.html>>.

Ing. Lukáš Fritsch
ČVUT v Praze
Fakulta elektrotechnická, katedra radioelektroniky
Technická 2, Praha 6, 166 27
e-mail: fritsl1@fel.cvut.cz